doi:10.3969/j.issn.1006-9852.2024.08.010

# 脉冲射频联合电针疗法用于带状疱疹后神经痛

王秋云 <sup>1</sup> 薛朝霞 <sup>2△</sup> 刘立伟 <sup>2</sup> 南静静 <sup>2</sup> ( <sup>1</sup> 山西医科大学麻醉学系,太原 030000; <sup>2</sup> 山西医科大学第一医院疼痛科,太原 030000)

带状疱疹后神经痛 (postherpetic neuralgia, PHN) 是带状疱疹 (herpes zoster, HZ) 爆发期后常见的后遗 症,通常定义为急性皮疹愈合后持续1个月以上的 剧烈神经病理性疼痛[1]。一项系统回顾显示,全球 范围内的 HZ 发病率为 3~5/1000 人/年,5%~30% 的 HZ 病人进展为 PHN [2]。 PHN 病人主要表现为持 续性或间歇性自发痛(如疼痛、灼痛、刺痛、射击 痛),可能伴有痛觉过敏、异常性疼痛和其他异常 感觉(如麻木、震颤)[1]。目前 PHN 常用的治疗方 法为微创介入治疗联合药物治疗。微创介入与药物 联合应用治疗 PHN 可有效缓解疼痛, 但时有疗效 不佳的情况[3]。此外,长期慢性疼痛不仅会影响病 人睡眠、工作和生活,还会出现抑郁、焦虑等情感 障碍,长此以往甚至会增加自杀公共事件的发生率, 给社会带来沉重的负担[45]。长期疼痛与焦虑、抑郁 等情绪相互促进,形成恶性循环[6],而打破这个闭环, 改善病人疼痛的同时缓解病人的情感障碍, 有望成 为有效改善 PHN 病人治疗的一种新思路。

电针 (electroacupuncture, EA) 是传统针灸技术与低压电流脉冲刺激相结合的治疗手段,已在临床广泛使用。有研究表明电针在降低 PHN 病人的疼痛强度方面有较好的疗效<sup>[7]</sup>,而且还能缓解疼痛相关的焦虑、抑郁状态,提高生活质量等<sup>[8]</sup>。通过牵涉痛定位法和神经思路定位法定位 PHN 相应的激痛点,行针刺治疗后可取得较好的疗效<sup>[9]</sup>。在此基础上,本研究通过疱疹受累区域的神经走行定位激痛点/压痛点,行痛点电针联合脉冲射频治疗,旨在缓解病人疼痛的同时调节病人情绪,打破疼痛-疼痛相关负性情绪-疼痛加重的闭环,从而为 PHN 的治疗提供更为全面的方案。

# 方 法

# 1. 一般资料

本研究通过山西医科大学第一医院医学伦理学委员会审核(伦理批号 NO.KYLL-2023-128),详

细了解研究方案后所有病人或其委托人均签署知情同意书。选取 2023 年 4 月至 2023 年 8 月收治于疼痛科治疗的 PHN 病人 60 例。将符合标准的病人依照入院顺序分为两组,对照组(A 组)采用脉冲射频治疗;观察组(B 组)采用脉冲射频联合低频电针治疗,每组 30 例。

纳入标准<sup>[1]</sup>: ①有明确 HZ 病史,且疱疹发生 部位皮损愈合后疼痛≥ 1 个月; ②年龄≥ 50 岁; ③视觉模拟评分法 (visual analogue scale, VAS) 评分 > 4; ④疼痛分布区域符合神经分布特点; ⑤疼痛为 持续性或间歇性烧灼样、电击样、刀割样、针刺样 或撕裂样等疼痛; ⑥意识清楚, 自愿参与。

排除标准:①合并有心、脑、肝、肾等系统严重原发性疾病以及病情危重难以耐受治疗者;②合并严重精神心理障碍无法配合者;③出凝血功能障碍者;④携带金属植入物、心脏起搏器或除颤器者;⑤穿刺部位感染者;⑥晕针及对治疗药物过敏者;⑦拒绝接受电针治疗者;⑧依从性差,不遵医嘱,随访不接受等。

## 2. 治疗方法

所有病人均口服药物普瑞巴林(大连辉瑞制药有限公司),起始剂量为75 mg,每日2次,依据疼痛程度酌情添加至150~300 mg,若有爆发痛则给予氨酚羟考酮(国药集团工业有限公司)1片;均口服甲钴胺片(卫材药业有限公司)0.5 mg,每日3次;5%利多卡因凝胶贴膏(北京泰德制药有限公司)贴于疼痛部位,每次不超过12h。

低频电针治疗:选用规格为 0.35 mm×(50~75 mm) 针灸针(马鞍山邦德医疗器械有限公司),温针电针综合治疗仪(上海高品医学激光科技开发有限公司)。躯体部位 PHN 定位:沿着受累神经节段呈带状由背侧至前侧(病变相应神经节段及上下各一节段)触诊激痛点/压痛点并定位;疱疹后三叉神经痛的定位:如受累的是 I 支,则沿着 I 支神经走行,触诊激痛点/压痛点并定位。四肢部位 PHN 定位:根据其受累神经节段及其支配神经

<sup>△</sup> 通信作者 薛朝霞 xzx1284@126.com

走行触诊激痛点/压痛点并定位。每位病人每次取10~12点,常规消毒,针尖朝中轴方向斜刺,缓慢进针,每次进针1~2 mm,以针刺时有酸胀痛麻等感觉或肌肉跳动为宜,针刺肋间神经部位激痛点/压痛点时需先顶到肋骨再缓慢调节针尖方向,连通电极。电针刺激参数:采用直流电,疏密波,频率 2 Hz,波宽 0.6 ms(以病人耐受为度)。每日1次,每次 30 min,治疗 5 天(入院第 1 天开始)。所有电针治疗均由同一名主治医师完成 [9]。

脉冲射频治疗 (pulsed radio frequency, PRF): 病 人入手术室后常规开放静脉通路,根据受累部位选 择体位(头面部选择仰卧位,颈、胸、腰、骶部选 择俯卧位),监测心电、血氧饱和度、血压等生命 体征。根据病人受累神经节段, CT 定位靶位点背根 神经节附近位置,于皮肤进行标记。常规消毒铺巾 后,根据定位的角度、深度穿刺置入射频套管,再 次进行CT扫描,调整针尖位于靶神经节椎间孔的 背根神经节附近。拔出针芯,连接射频电极。进行 感觉测试,频率为50Hz,电压为0.2~0.5V,受累 神经支配区域出现麻木酸胀或疼痛感。然后进行运 动测试, 频率 2 Hz, 电压 < 1 V 刺激, 受累神经支 配区域不出现肌肉震颤。进行脉冲射频治疗,频率 2 Hz, 脉宽 20 ms, 温度 42℃, 持续 480 s, 连续进 行 3 次,治疗结束后拔出针芯及射频套管针,以无 菌敷料覆盖并压迫穿刺点。观察 30 min, 病人无不 适后送回病房。所有射频手术均由同一名主任医师 于入院第3天完成。

#### 3. 观察指标及评价标准

(1) 疼痛程度:采用 VAS 评分评估疼痛强度,0分:无痛;1~3分,轻度疼痛,可以耐受;4~7分,中度疼痛,影响睡眠;8~10分:重度疼痛,难以忍受)。于治疗前(T0)、治疗结束后1天(对照组完成RPF治疗,观察组完成RPF和EA治疗)(T1)、出院后1周(T2)、2周(T3)、4周(T4)和12周(T5)进行评估。

治疗后 VAS 评分比治疗前降低 $\leq$  30% 为临床无效,较治疗前降低> 30% 为临床有效,较治疗前降低> 50% 为明显改善,计算 T5 显效率,显效率 = 明显改善病人数/总病人数 $\times$  100% [1]。

(2)心率变异性分析 (heart rate variability, HRV): 采用心率变异性分析仪 (沈阳威今基因科技有限公司)检测。检查方法:静息半小时,取坐位,暴露双侧手腕脚腕,将电极依次贴于固定部位(右前臂贴红色电极,左前臂贴黄色电极,右下肢贴黑色电极,左下肢贴绿色电极),开启软件,收集病人 5 min 心跳波形。本研究行短程频域分析 HRV,指标包括:低频功率 (low frequence, LF),正常参考值为 (54 $\pm$ 4 nu)、高频功率 (high frequence, HF),正常参考值为 (29 $\pm$ 3 nu)、低高频功率比 (LF/HF),正常参考值为 (1.5 $\sim$ 2.0)。LF 反映心交感神经的活动;HF 反映心迷走神经的活动;LF/HF 反映心交感、迷走神经活动的均衡性 [10]。所有病人均于 T0 和 T1 检测。

- (3) 焦虑自评量表 (self-rating anxiety scale, SAS)[11]: SAS 包括 20 个反映焦虑主观感受的问题,每个问题按症状出现的频度分为四级评分,其中 15 个为正向评分,5 个为反向评分。"1"表示无或偶尔有;"2"表示小部分时间有;"3"表示大部分时间有;"4"表示绝大部分或全部时间都有。评定结束后将 20 个问题中的各项分数相加得总粗分(X),总粗分乘以 1.25 后整数部分为标准分(Y)。SAS 标准分的分界值为 50 分,50~59 分为轻度焦虑,60~69分为中度焦虑,69 分以上为重度焦虑。所有病人均于 T0、T1、T2、T3、T4、T5 进行评估。
- (4) 抑郁自评量表 (self-rating depression scale, SDS) [12]: SDS 包括 20 个反映抑郁主观感受的问题,每个问题按症状出现频次分为四级评分,其中 15 个为正向评分,5 个为反向评分。"1"表示无或偶尔有;"2"表示小部分时间有;"3"表示大部分时间有;"4"表示绝大部分或全部时间都有。评定结束后将 20 个问题中的各项分数相加得总粗分(X),总粗分乘以 1.25 以后整数部分为标准分(Y)。按照中国常模结果,SDS 标准分的分界值为 53 分,53~62 分为轻度抑郁,63~72 分为中度抑郁,73 分以上为重度抑郁。所有病人均于 T0、T1、T2、T3、T4、T5 进行评估。
- (5) 红外热成像 (infrared thermal imaging, ITI) 温度对比:采用红外热成像仪(重庆宝通华医疗器械有限公司,系统: V2.0.0.1)检查病人疱疹受累部位与其对应的健侧部位的温差 ( $\Delta T^{\mathbb{C}}$ )。检查方法:病人于检查前 2 $\sim$ 4 h 禁饮禁食,入检查室脱去衣物,完全暴露检查部位,保持静止状态 30 分钟,经仪器扫描患病部位,由计算机处理后保存分析图像。ITI 通过不同颜色反映差异:由热区到冷区依次为白、深红、红、浅红、黄、绿、浅绿、浅蓝、深蓝以及黑色。所有病人均于 T0 和 T1 时检测  $\Delta T^{\mathbb{C}}$ 。
- (6) 记录镇痛药物使用情况:记录两组病人 T0 和 T5 时普瑞巴林的每日用量和氨酚羟考酮的使用情况。
- (7)记录病人不良反应:记录治疗过程不良反应,包括头晕、恶心、呕吐等。

#### 4. 样本量计算

本研究为随机对照试验,主要结局指标为 VAS 评分,根据前期预实验,对照组 T1 时 VAS 评分为  $3.6\pm1$ ,观察组 T1 时 VAS 评分为  $2.8\pm0.8$ ,检验水准  $\alpha=0.05$ ,把握度为  $1-\beta=0.90$ ,采用 G\*Power3.1.9.7 软件进行样本量计算,算出每组样本量为 28 例,考虑到研究过程中可能会有失访的情况,最终每组纳入 30 例。

## 5. 统计学分析

采用 SPSS 26.0 统计软件进行统计学分析,正态分布的计量资料用均数  $\pm$  标准差( $\bar{x} \pm SD$ )表示,采用 t 检验;计数资料采用  $\mathcal{X}^2$  检验,非正态分布的计量资料以中位数(四分位间距)[M (IQR)]表示,组间差异比较采用非参数秩和检验,组内多个时间点比较采用重复测量方差分析,对临床并发症或不良事件进行描述性分析。P < 0.05 为差异有统计学意义。

#### 结 果

## 1. 两组病人一般资料比较

对照组: 男 14 例, 女 16 例; 平均年龄 65.5 岁, 发病部位: 胸段: 15 例, 头面部 6 例, 腰部 5 例, 骶尾部 1 例, 颈部 3 例; 前驱期疼痛 16 例。观察组: 男 13 例, 女 17 例, 平均年龄: 63.4 岁; 发病部位: 胸段 17 例, 头面部 6 例, 腰段 4 例; 骶尾部 1 例; 颈部 2 例; 前驱期疼痛 18 例。两组性别、年龄、发病部位、是否有前驱痛、爆发痛比较差异无统计学意义(见表 1)。

# 2. 两组病人 VAS 评分及显效率比较

两组治疗后不同时间点的 VAS 评分均较 T0 时显著降低。T1、T2 时两组病人 VAS 评分差异无统计学意义,T3、T4、T5 时观察组 VAS 评分明显低于对照组(P < 0.05,见图 1)。治疗 3 个月后观察组

病人明显改善的例数显著高于对照组,对照组的显效率为80%,观察组显效率为96.6%(P < 0.05,见表2)。

## 3. 两组病人 HRV 分析比较

两组病人 T1 的 LF、HF、LF/HF 均较 T0 改善。 观察组 T1 的 LF 较对照组降低;观察组 T1 的 LF/HF 较对照组更接近正常范围(P < 0.05,见表 3)。

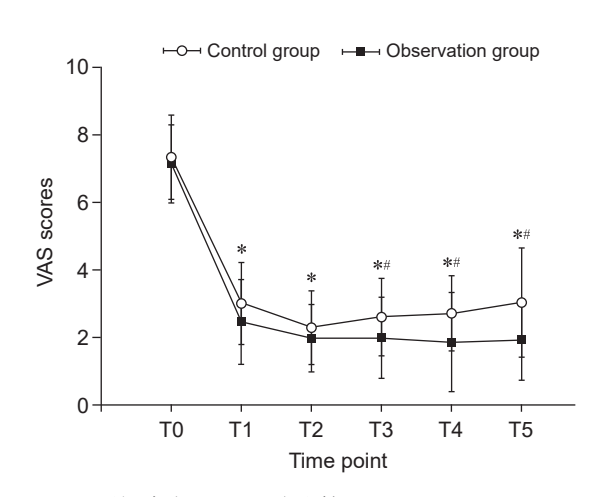
4. 两组病人疱疹受累部位与其相对应健侧的温差 两组病人 T0 时  $\Delta T$   $\mathbb{C}$  差异无统计学意义,两组 T1 时  $\Delta T$   $\mathbb{C}$  较治疗前降低。观察组 T1 时  $\Delta T$   $\mathbb{C}$  较对照组低(P < 0.05,见表 4)。

#### 5. 两组病人 SAS 评分比较

两组病人各时间点的 SAS 评分均较 T0 时显著降低。观察组 T2、T3、T4、T5 时的 SAS 评分较对照组降低(P<0.05,见图 2)。

## 6. 两组病人 SDS 评分比较

两组病人各时间点的 SDS 评分均较 T0 时相比显著降低。观察组 T4、T5 时的 SDS 评分较对照组降低(P<0.05,见图 3)。



**图 1** 两组病人 VAS 评分比较 \**P*<0.05,与治疗前相比; \**P*<0.05,与对照组相比

表 1 两组病人一般资料比较 ( $\bar{x} \pm SD$ )

~ I	1/1/11/1/	$\mathcal{K}$				
	组别	年龄 (岁)	性别(男/女)	部位(胸/头/腰/骶/颈)	前驱痛	爆发痛
7	対照组 (n = 30)	$65.6 \pm 8.6$	14/16	15/6/5/1/3	16	21
X	观察组 (n = 30)	$63.4 \pm 7.5$	13/17	17/6/4/1/2	18	23
	$F/\mathcal{X}^2$	0.090	0.067	0.436	0.271	0.341
	P	0.690	0.795	0.979	0.602	0.559

表 2 两组病人治疗 3 个月后显效率比较

组别	明显改善(例)	临床有效 (例)	临床无效 (例)	显效率
对照组 (n = 30)	20	5	1	80%
观察组 (n = 30)	29	1	0	96.6%#

\*\*P < 0.05, 与对照组相比

#### • 618 •

#### 7. 两组病人药物使用情况

T0 时两组病人普瑞巴林用量差异无统计学意义; T5 时观察组普瑞巴林用量低于对照组(P < 0.05,见表 5)。T0 时两组病人氨酚羟考酮使用人数差异无统计学意义; T5 时观察组氨酚羟考酮使用人数低于对照组(P < 0.05,见表 6)。

8. 两组病人不良反应发生情况 两组病人在治疗过程中均未见严重不良反应,

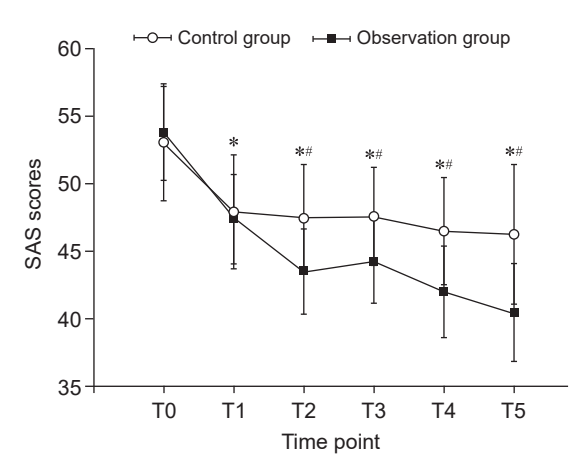
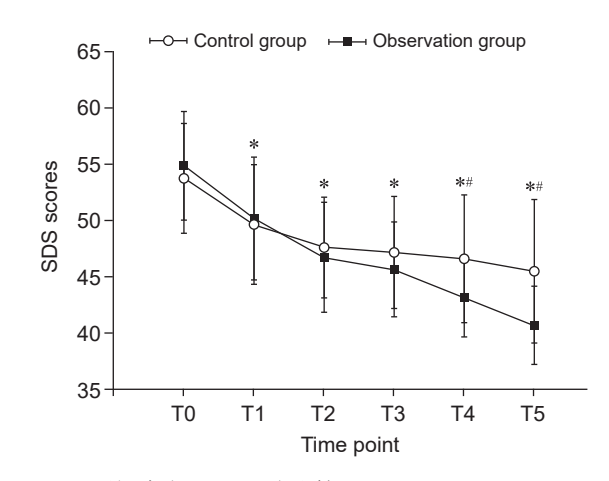


图 2 两组病人 SAS 评分比较 \*P<0.05,与治疗前相比, $^{*}P$ <0.05,与对照组相比

对照组出现 3 例, 1 例为恶心呕吐, 2 例为穿刺点疼痛; 观察组出现 4 例, 1 例为穿刺点出血, 3 例为穿刺点疼痛, 不良反应均在 1 天内缓解。

#### 讨论

PHN 是水痘-带状疱疹病毒 (varicella zoster virus, VZV) 侵犯背根神经节引起的一种慢性顽固性神经



**图 3** 两组病人 SDS 评分比较 \**P*<0.05,与治疗前相比; \**P*<0.05,与对照组相比

表 3 两组病人治疗前后 HRV 比较 ( $\bar{x} \pm SD$ )

组别	T0		T1			
纽л	LF	HF	LF/HF	LF	HF	LF/HF
对照组 (n = 30)	$64.6 \pm 13.1$	$24.1 \pm 8.4$	$3.0 \pm 1.3$	58.9±9.5*	$28.1 \pm 7.5*$	$2.3 \pm 0.8*$
观察组 $(n = 30)$	$64.8 \pm 11.0$	$22.2 \pm 7.0$	$3.2 \pm 12.0$	53.5 ± 10.2**	$28.5 \pm 5.7*$	$1.93 \pm 0.4*$
F	0.694	2.330	0.47	0.115	0.620	4.485
P	0.941	0.402	0.490	0.032	0.427	0.029

<sup>\*</sup>P < 0.05,与治疗前相比; \*P < 0.05,与对照组相比; LF: 低频功率; HF 高频功率

表 4 两组病人治疗前后  $\Delta$ T  $\mathbb{C}$ 比较 ( $\bar{x}$ ±SD)

时间	对照组 (n = 30)	观察组 (n = 30)	t	P
Т0	$1.4 \pm 0.2$	$1.4 \pm 0.2$	-0.059	> 0.05
T1	$1.0 \pm 0.2*$	0.9±0.2**	2.818	< 0.05

<sup>\*</sup>P < 0.05, 与治疗前相比;  $^{*}P < 0.05$ , 与对照组相比

表 5 两组病人普瑞巴林使用情况比较 [mg, M (P25, P75)]

时间	对照组 (n=30)	观察组 (n = 30)	Z	P
Т0	150 (150, 225)	150 (150, 225)	0.713	0.476
T5	112.5 (75, 150)	75 (56.25, 75) #	3.139	0.002

<sup>\*</sup>P < 0.05, 与对照组相比

表 6 两组病人氨酚羟考酮使用人数比较

40 Bil	-	T0	]	Γ5
组别 —	服药	未服药	服药	未服药
対照组 (n = 30)	21	9	9	21
观察组 $(n = 30)$	23	7	2#	28

<sup>\*</sup>P < 0.05, 与对照组相比

病理性疼痛,发病机制尚未完全阐明,目前认为可 能的机制有外周敏化、中枢敏化、炎性反应、中枢 神经元去传入、离子通道改变和交感神经功能异常 等[1]。当疼痛长期存在并转化为慢性疼痛之后,病 人往往会出现焦虑、抑郁等疼痛相关负性情绪,而 有研究表明焦虑会使病人的疼痛在原来的基础上增 加 10.13%, 抑郁则增加 5.41% [13], 长此以往会形成 疼痛-疼痛相关负性情绪-疼痛加重的恶性循环。临 床上治疗 PHN 已经关注到疼痛相关负性情绪对疼 痛的影响,通常采用联合抗抑郁药进行治疗。虽然 联合抗抑郁药可在一定程度上缓解疼痛及疼痛相关 负性情绪,但有部分病人难以耐受药物的不良反应, 且长期使用还会导致药物依赖,同时也会加重病人 经济负担[14]。而电针不仅能有效缓解疼痛,在调节 疼痛相关负性情绪方面也取得不错的效果[15], 且应 用于治疗过程中未发现明显不良反应。

脉冲射频是一种神经调节疗法,持续、可逆地抑制 C 纤维兴奋性传入,从而起到阻断痛觉传导作用,并且具有微创、定位精准和不会造成热效应而再次损伤神经等优点,因此 PRF 被越来越广泛地应用于临床 [16]。然而,有研究表明部分病人使用 PRF治疗 PHN 疗效不佳,疱疹急性期进行 PRF治疗的总有效率为 88%,而慢性期仅为 52% [17]。治疗效果与许多因素有关,例如 PRF 对于远离背根神经节部位的外周遗留痛缓解往往不尽理想;慢性疼痛病人往往伴有疼痛相关负性情绪,而疼痛相关负性情绪会加重病人对于疼痛的主观感受;神经损伤严重程度;操作者的技术水平等。

外周遗留痛是由疱疹病毒损伤后导致的炎症反 应诱发激痛点/压痛点而形成,使得外周神经受到嵌 压和刺激, 形成间歇性放电或突发性放电, 若放电 发生在神经干和神经节周围时会造成疼痛及其支配 区域的放电性疼痛[9,18]。有研究表明有超过91%的 筋膜激痛点分布与其解剖学上对应的穴位的经络分 布相对应[19]。此外,有研究表明针刺筋膜激痛点 可诱发出局部肌肉跳动或牵涉痛,这种跳动常带有 强烈的酸胀麻或沿牵涉痛区域放射感,采用牵涉痛 思路定位并治疗筋膜激痛点表现出与针刺穴位相似 的临床效果<sup>[18]</sup>。本研究中,有部分胸段 PHN 病人 伴有"紧缩感",进行电针治疗后,这部分病人的 "紧缩感"明显消失,而对照组病人"紧缩感"缓 解不明显,这与 Ahmed 等 [20]的研究一致,表明电 针可松解周围粘连组织, 改善神经压迫, 进而可缓 解"紧缩感"。更重要的是, 电针可激活 μ-阿片受 体 (μ-opioid receptor, MOR) 抑制 Nertin-1 诱导的脊 髓背角有髓鞘传入纤维出芽,可与 PRF 协同阻断痛觉传导 [21]。本研究通过沿受累神经节段触诊定位激痛点/压痛点,治疗后病人表示这些激痛点/压痛点疼痛明显缓解,疼痛发作频率降低,这与刘首芳等 [9] 的研究结果一致。综合本研究 VAS 评分分析,观察组 T3、T4、T5 时 VAS 评分明显较对照组降低,表明电针联合射频治疗的远期镇痛优于单用射频治疗。因此,电针联合 PRF 治疗能更为全面缓解病人 PHN 疼痛。

大脑通过自主神经系统调节下丘脑-垂体-肾上 腺轴,从而对情绪进行调节,而焦虑、抑郁病人往 往涉及自主神经系统调节功能紊乱。HRV的 LF/HF 比值越大,越有可能伴有焦虑、抑郁等情绪障碍[10]。 神经影像学研究表明情绪与HRV共同的脑区为前 额叶皮质,而且HRV还能反映情绪与外周自主神 经功能的调节关系<sup>[22]</sup>。而前扣带皮质 (anterior cingulate cortex, ACC) 是情绪情感环路中重要的组成部 分,其中的γ-氨基丁酸 (gamma-aminobutyric acid, GABA) 中间神经元在慢性疼痛和焦虑、抑郁之间发 挥重要作用, 在疼痛发生时介导了疼痛相关负性情 绪的发生。前额叶皮质覆盖 ACC 且与其紧密连接, 同时还调节疼痛相关的自主神经反应[23]。因此, HRV 分析不仅可以反映自主神经功能的平衡状态, 还可反映病人焦虑抑郁情况及其进行电针治疗后情 绪改善情况。心率变异性指标分析表明, 观察组对 于自主神经功能的双向调节功能优于对照组, 这与 电针能改善疼痛相关负性情绪的研究结果一致。结 合本研究中 SAS、SDS 评分分析,观察组对于焦虑、 抑郁等情绪的改善效果优于对照组。本研究结果在主 观和客观两个方面共同说明观察组基于双向调节自主 神经的基础上,为电针能打破疼痛与焦虑、抑郁等情 绪相互促进的恶性闭环, 改善疼痛相关负性情绪的同 时能更稳定的缓解疼痛提供了一定的理论依据。

目前 PHN 的评估方法主要为 VAS 评分、NRS 评分等,一定程度上反映病人病情变化,但受病人主观因素影响较大。红外热成像技术是一种无创、可视化红外辐射的功能成像技术,可精确显示人体体表结构局部温度,以直观鲜明的图像展现出来,并且有研究表明其可客观评估 PHN 临床疗效 <sup>[24]</sup>。当皮肤有炎症反应或激痛点存在时,ITI 表现为热点;当交感神经异常或神经损伤时在 ITI 图像中表现为冷点。本研究中 T0 时两组 △T℃差异无统计学意义,T1 时观察组的 △T℃低于对照组。提示观察组治疗能更好改善病人炎性症状、激痛点、调节交感神经和对皮损区域受损神经具有一定的修

复功能。然而,本研究中两组病人 T1、T2 时间点 的 VAS 评分差异无统计学意义, T3、T4、T5 时观 察组的 VAS 评分低于对照组, T4、T5 时观察组的 SAS 和 SDS 均较对照组低,这更加说明 VAS 评分 易受主观情绪影响,因此结合 ITI 来客观评估疗效 十分必要。对照组中,有4例病人T1时 △T°C< 1.03 °C, VAS 评分均 ≤ 3, T1~T5 时的 SAS/SDS 评分均 > 50, 但 T5 时其中 2 例病人的 VAS 评分 > 4, 这说明虽然 T1 的 △T℃明显降低,而焦虑抑郁情 绪改善不明显,病人的痛感不一定会随着时间推移 降低, 反而有可能加重; 而观察组中, 有17例病人 T1 时 △T℃ > 0.89℃, T1 时有 10 例病人 SAS/SDS 评分均 > 50, T5 时 SAS/SDS 评分均 ≤ 50, 仅有 1 例病人 T5 时 VAS 评分 > 4, 结合观察组远期疼痛 相关负性情绪调节效果优于对照组, 表明调节好焦 虑、抑郁情绪,可减轻病人对于疼痛主观感觉。但 由于本研究病人数量较少, 电针对于疼痛相关负性 情绪的疗效还需进一步临床研究。

本研究的局限性:未设置健康对照组,无法比较 PHN 病人的 HRV 与一般健康人的差异;且受到平均住院日的影响,只检测了 T1 的 HRV 和 ITI 变化,未观察远期变化;未将相同部位 PHN 进行对比,混合比较的客观性降低,在后续的研究中会尝试扩大样本量进行同部位比较;由于随访以问卷的形式进行,容易受到病人主观情绪影响,易导致试验结果出现信息偏倚。

需要特别提到的是,本研究有1例头面部PHN 病人合并疱疹部位异常瘙痒,在进行电针治疗后伴 有的异常瘙痒基本消退,这值得进一步研究其可能 的作用机制。

综上所述,痛点低频电针疗法联合脉冲射频可优势互补,弥补其对于 PHN 外周遗留痛疗效不佳的同时还可缓解疼痛相关负性情绪。

利益冲突声明: 作者声明本文无利益冲突。

#### 参考文献

- [1] 于生元,万有,万琪,等.带状疱疹后神经痛诊疗中国 专家共识[J].中国疼痛医学杂志,2016,22(3):161-167.
- [2] Forbes HJ, Bhaskaran K, Thomas SL, *et al*. Quantification of risk factors for postherpetic neuralgia in herpes zoster patients: a cohort study[J]. Neurology, 2016, 87:94-102.
- [3] Li D, Sun G, Sun H, et al. Combined therapy of pulsed radiofrequency and nerve block in postherpetic neuralgia patients: a randomized clinical trial[J]. Peer J, 2018, 6:e4852.

- [4] 朱谦, 樊碧发, 张达颖, 等. 周围神经病理性疼痛诊疗中国专家共识[J]. 中国疼痛医学杂志, 2020, 26(5): 321-328.
- [5] Chen T, Wang J, Wang YQ. Current understanding of the neural circuitry in the comorbidity of chronic pain and anxiety[J]. Neural Plast, 2022, 2022:4217593.
- [6] 肖思琦,吴泽民,沈醉,等.电针通过rACC谷氨酸能神经元缓解炎性痛伴发焦虑样行为[J].中国疼痛医学杂志,2022,28(7):494-501.
- [7] Liu Q, Wu X, Guo J, et al. Analgesic effect of electroacupuncture on postherpetic neuralgia: a trial protocol for a multicenter randomized controlled trial[J]. Pain Ther, 2021, 10(2):1755-1771.
- [8] Mao JJ, Farrar JT, Bruner D, *et al.* Electroacupuncture for fatigue, sleep, and psychological distress in breast cancer patients with aromatase inhibitor-related arthralgia: a randomized trial[J]. Cancer, 2014, 120(23):3744-3751.
- [9] 刘首芳,马彦韬,张艳茹,等.针刺肌筋膜激痛点治疗带状疱疹后神经痛[J].中国疼痛医学杂志,2022,28(8):633-636.
- [10] Camm AJ, Bigger JT, Cerutti S, et al. Heart rate variability. Standard of measurements, physiological interpretation and clinical use[J]. Circulation, 1996, 93(5): 1043-1065.
- [11] Zung WW. A rating instrument for anxiety disorders[J]. Psychosomatics, 1971, 12(6):371-379.
- [12] Zung WWK. A self-rating depression scale[J]. Arch Generpsy, 1965, 12:63-70.
- [13] Smith BW, Zautra AJ. The effects of anxiety and depression on weekly pain in women with arthritis[J]. Pain, 2008, 138(2):354-361.
- [14] Hylands-White N, Duarte RV, *et al*. An overview of treatment approaches for chronic pain management[J]. Rheumatol Int, 2017, 37(1):29-42.
- [15] Zhang R, Lao L, Ren K, *et al.* Mechanisms of acupuncture-electroacupuncture on persistent pain[J]. Anesthesiology, 2014, 120(2):482-503.
- [16] Wan CF, Song T. Efficacy of pulsed radiofrequency or short-term spinal cord stimulation for acute/subacute zoster-related pain: a randomized, double-blinded, controlled trial[J]. Pain Physician, 2021, 24(3):215-222.
- [17] Ding Y, Li H, Hong T, *et al*. Efficacy and safety of computed tomography-guided pulsed radiofrequency modulation of thoracic dorsal root ganglion on herpes zoster neuralgia[J]. Neuromodulation, 2019, 22(1):108-114.
- [18] 郭少卿,徐基民,马彦韬,等.基于肌筋膜触发点的 研究探讨针灸穴位和经络本质 [J].中国针灸,2021,41(6):633-640.
- [19] Dorsher PT. Myofascial referred-pain data provide physiologic evidence of acupuncture meridians[J]. J Pain, 2009, 10(7):723-731.
- [20] Ahmed S, Haddad C, Subramaniam S, et al. The effect

(下转第629页)

综上所述,近年关于 MPS 的研究热度回升,但各研究相对独立,其发病机制、诊断标准、治疗方式等仍是未来研究的方向,且各科研人员、机构、国家之间应加强合作。

利益冲突声明: 作者声明本文无利益冲突。

#### 参考文献

- [1] Gerwin RD. A review of myofascial pain and fibro-myalgia-factors that promote their persistence[J]. Acupunct Med, 2005, 23(3):121-134.
- [2] Cerezo-Téllez E, Torres-Lacomba M, Mayoral-Del Moral O, et al. Prevalence of myofascial pain syndrome in chronic non-specific neck pain: a population-based cross-sectional descriptive study[J]. Pain Med, 2016, 17(12):2369-2377.
- [3] Kalichman L, Menahem I, Treger I. Myofascial component of cancer pain review[J]. J Bodyw Mov Ther, 2019, 23(2):311-315.
- [4] Ishiki H, Hasuo H, Matsuda Y, et al. Prevalence of myofascial pain syndrome and efficacy of trigger point injection in patients with incurable cancer: a multicenter, prospective observational study (MyCar Study)[J]. Pain Med, 2022, 23(7):1259-1265.
- [5] Fernández-de-Las-Peñas C, Dommerholt J. International consensus on diagnostic criteria and clinical considerations of myofascial trigger points: a delphi study[J]. Pain Med, 2018, 19(1):142-150.
- [6] Cao QW, Peng BG, Wang L, et al. Expert consensus on the diagnosis and treatment of myofascial pain syndrome[J]. World J Clin Cases, 2021, 9(9):2077-2089.
- [7] Duarte FCK, West DWD, Linde LD, et al. Re-examining myofascial pain syndrome: toward biomarker development and mechanism-based diagnostic criteria[J]. Curr Rheumatol Rep, 2021, 23(8):69.
- [8] Wu T, Li S, Ren J, et al. Efficacy of extracorporeal shock waves in the treatment of myofascial pain syndrome: a

- systematic review and meta-analysis of controlled clinical studies[J]. Ann Transl Med, 2022, 10(4):165.
- [9] Zhang XF, Liu L, Wang BB, et al. Evidence for kinesio taping in management of myofascial pain syndrome: a systematic review and meta-analysis[J]. Clin Rehabil, 2019, 33(5):865-874.
- [10] Kietrys DM, Palombaro KM, Azzaretto E, et al. Effectiveness of dry needling for upper-quarter myofascial pain: a systematic review and meta-analysis[J]. J Orthop Sports Phys Ther, 2013, 43(9):620-634.
- [11] 卢振和,黄乔东,陈金生,等.射频热凝治疗肌筋膜疼痛综合征的初步报告[J].中国疼痛医学杂志,2005,11(2):118-120.
- [12] 陈金生,卢振和,黄乔东,等.颈后肌筋膜疼痛综合征射频热凝治疗[J].中国疼痛医学杂志,2006,12(6):329-330.
- [13] Luo N, Li R, Fu B, *et al*. Bibliometric and visual analysis in the field of dry needling for myofascial pain syndrome from 2000 to 2022[J]. J Pain Res, 2023, 16:2461-2475.
- [14] 安茜, 吴宗辉. 基于 CiteSpace 探讨肌筋膜触发点 在疼痛康复中的研究现状 [J]. 中国医药科学, 2022, 12(22):24-28.
- [15] Thottungal A, Kumar P, Bhaskar A. Interventions for myofascial pain syndrome in cancer pain: recent advances: why, when, where and how[J]. Curr Opin Support Palliat Care, 2019, 13(3):262-269.
- [16] Hoyos-Calderon YT, Martínez-Merinero P, Nunez-Nagy S, *et al*. Myofascial trigger points and central sensitization signs, but no anxiety, are shown in women with dysmenorrhea: a case-control study[J]. Biology (Basel), 2022, 11(11):1550.
- [17] Serrano-Imedio A, Calvo-Lobo C, Casañas-Martin C, et al. Myofascial pain syndrome in women with primary dysmenorrhea: a case-control study[J]. Diagnostics (Basel), 2022, 12(11):2723.
- [18] Phan V, Shah J, Tandon H, *et al*. Myofascial pain syndrome: a narrative review identifying inconsistencies in nomenclature[J]. PM R, 2020, 12(9):916-925.

## (上接第620页)

- of electric stimulation techniques on pain and tenderness at the myofascial trigger point: a systematic review[J]. Pain Med, 2019, 20(9):1774-1788.
- [21] Li HP, Su W, Shu Y, et al. Electroacupuncture decreases Netrin-1-induced myelinated afferent fiber sprouting and neuropathic pain through μ-opioid receptors[J]. J Pain Res, 2019, 12:1259-1268.
- [22] Bulut NS, Würz A, Yorguner Küpeli N, et al. Heart rate variability response to affective pictures processed in and outside
- of conscious awareness: three consecutive studies on emotional regulation[J]. Int J Psychophysiol, 2018, 129:18-30.
- [23] Perlaki G, Orsi G, Schwarcz A, et al. Pain-related autonomic response is modulated by the medial prefrontal cortex: an ECG-fMRI study in men[J]. J Neurol Sci, 2015, 349(1-2):202-208.
- [24] 尚芸,吕卓敏,答秀维,等.红外热成像图对带状疱疹后神经痛介入治疗临床疗效的评价观察[J].中国疼痛医学杂志,2020,26(5):397-400.